

Processamento de Imagens

Prof. MSc. Daniel Menin Tortelli

e-mail: danielmenintortelli@gmail.com

Skype: daniel.menin.tortelli

Site: <http://sites.google.com/site/danielmenintortelli/home>

Propriedades de uma imagem digital

Propriedades de uma imagem digital

Convenções:

- Uma imagem digital é uma imagem $f(x,y)$ discretizada tanto espacialmente quanto em amplitude.
- Portanto, uma imagem digital pode ser vista como uma matriz cujas linhas e colunas identificam um ponto na imagem, cujo valor corresponde ao nível de cinza da imagem naquele ponto.
- Para efeito de notação, uma imagem digital será indicada por $f(x,y)$
- Quando nos referirmos a um *pixel* em particular, utilizaremos letras minúsculas, tais como ***p*** e ***q***.
- Um subconjunto de *pixels* de $f(x,y)$ será indicado por **S**.

Medições de Distância

Adjacência

- Um *pixel* p é adjacente a um *pixel* q se eles forem conectados.
- Há tantos critérios de adjacência quantos são os critérios de conectividade.
- Dois subconjuntos de imagens, S_1 e S_2 , são adjacentes se algum *pixel* em S_1 é adjacente a algum *pixel* em S_2 .

Conectividade

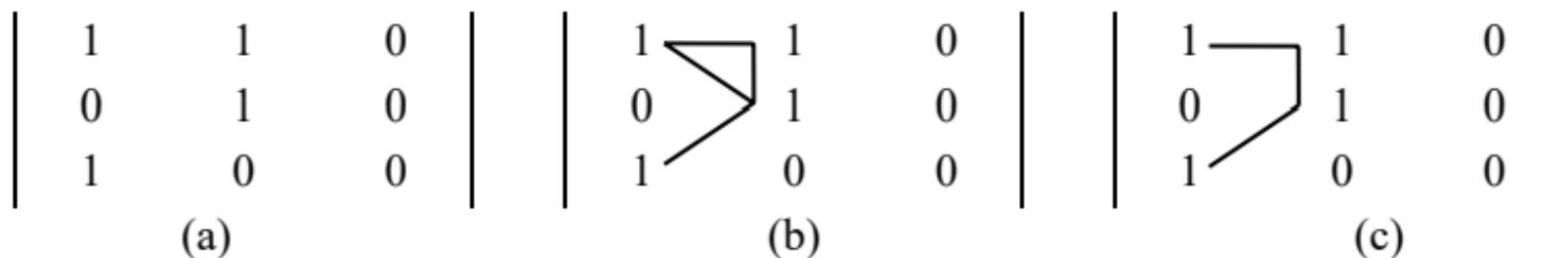
- A conectividade entre *pixels* é um importante conceito usado para estabelecer limites de objetos e componentes de regiões em uma imagem.
- Para se estabelecer se dois *pixels* estão conectados, é necessário determinar se eles são adjacentes segundo algum critério e se seus níveis de cinza satisfazem a um determinado critério de similaridade.
- Por exemplo, em uma imagem binária, onde os *pixels* podem assumir os valores 0 e 1, dois *pixels* podem ser 4-vizinhos, mas somente serão considerados 4-conectados se possuírem o mesmo valor.

Conectividade

- Seja V o conjunto de valores de tons de cinza utilizados para se definir a conectividade.
- Conhecendo o conceito de vizinhança e dado o conjunto V , podemos definir os seguintes critérios de conectividade:
 1. "4-conectividade": dois pixels p e q com valores de tom de cinza contidos em V , são "4-conectados" se $q \in N_4(p)$.
 2. "8-conectividade": dois pixels p e q com valores de tom de cinza contidos em V , são "8-conectados" se $q \in N_8(p)$.
 3. "m-conectividade (conectividade mista)": dois pixels p e q com valores de tom de cinza contidos em V , são "m-conectados" se:
 - (i) $q \in N_4(p)$ ou
 - (ii) $q \in N_d(p)$ e $N_4(p) \cap N_4(q) = \emptyset$.

Conectividade

- Por exemplo, seja o trecho de imagem da figura (a).
- Para $V = \{1\}$ os caminhos entre 8 vizinhos do *pixel* do centro são indicados por linhas contínuas na figura (b), onde se pode observar a existência de caminhos redundantes entre os *pixels* do centro e do canto superior esquerdo da figura.
- Esta redundância é resolvida utilizando-se a m-conectividade, que remove a conexão diagonal redundante, como mostra a figura (c).



(a) Segmento de imagem binária, (b) 8-vizinhos do pixel central, (c) m-vizinhos do pixel central.

Caminho

- Um caminho (*path*) de um *pixel* ***p*** de coordenadas (x,y) a um *pixel* ***q*** de coordenadas (s,t) é uma sequência de *pixels* distintos de coordenadas: (x_0, y_0) , (x_1, y_1) , ..., (x_n, y_n) , onde:

$(x_0, y_0) = (x,y)$ // Posição inicial é a posição de $p(x,y)$

$(x_n, y_n) = (s,t)$ // Posição final é a posição de $q(s,t)$

(x_i, y_i) é adjacente a (x_{i-1}, y_{i-1})

$1 \leq i \leq n$

n é denominado o comprimento do caminho.

Medições de Distância

- Dados os pixels \mathbf{p} , \mathbf{q} e \mathbf{z} , de coordenadas (x,y) , (s,t) e (u,v) , respectivamente, define-se a **Função Distância D** , cujas propriedades são:

$$(i) \ D(p,q) \geq 0 \ (D(p,q) = 0 \text{ se e somente se } p = q)$$

$$(ii) \ D(p,q) = D(q,p)$$

$$(iii) \ D(p,z) \leq D(p,q) + D(q,z)$$

- O conceito de distância pode estar relacionado ao conceito de conectividade.
- A distância D_m expressa a distância entre dois pontos m-conectados.

Distância Euclidiana

$$D_e(p, q) = \sqrt{(x - s)^2 + (y - t)^2}$$

- Para esta medida de distância, os *pixels* com distância euclidiana em relação a (x, y) menor ou igual a algum valor r , são os pontos contidos em um círculo de raio r centrado em (x, y) .

Distância D_4 (*city-block*)

$$D_4(p, q) = |x - s| + |y - t|$$

- onde $| \cdot |$ denota módulo (ou valor absoluto).
- Neste caso, os *pixels* tendo uma distância D_4 em relação a (x, y) menor ou igual a algum valor r formam um losango centrado em (x, y) . Os pixels com $D_4 = 1$ são os 4-vizinhos de (x, y) .

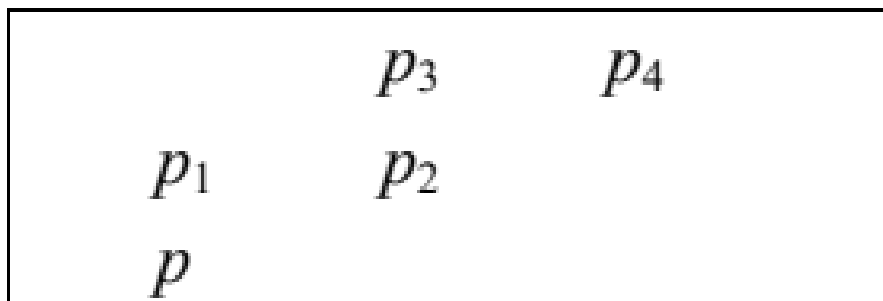
Distância D_8 (*tabuleiro de xadrez*)

$$D_8(p, q) = \max(|x - s|, |y - t|)$$

- onde **max** é um operador que devolve o maior valor dentre um conjunto de valores entre parênteses.
- Neste caso os *pixels* com distância D_8 em relação a (x, y) menor ou igual a algum valor r formam um quadrado centrado em (x, y) . Os *pixels* com $D_8 = 1$ são os 8-vizinhos de (x, y) .

Exemplo de Distância

Seja o trecho de imagem binária a seguir:

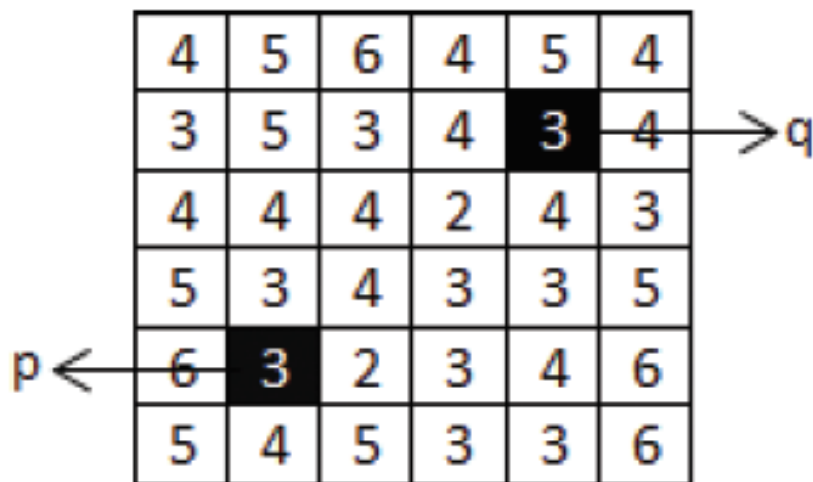
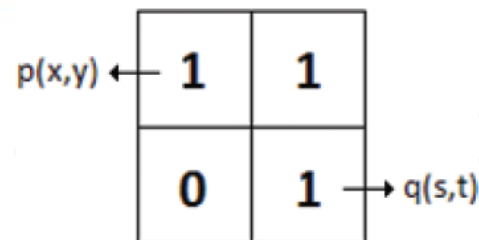


Supondo que $V = \{1\}$, $p = p_2 = p_4 = 1$ e que p_1 e p_3 podem apresentar valores **0** ou **1**, calcular a distância D_m entre p e p_4 para as seguintes situações:

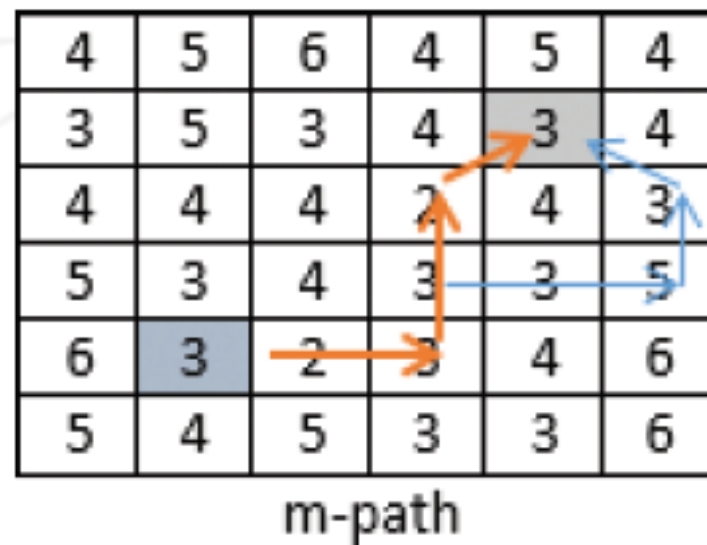
- a) Se $p_1 = p_3 = 0$.
- b) Se p_1 ou p_3 valem 1.
- c) Se p_1 e p_3 valem 1.

Exemplo de Distância

Distância entre os pixels **p** e **q**:



Qual o menor caminho entre **p** e **q**?



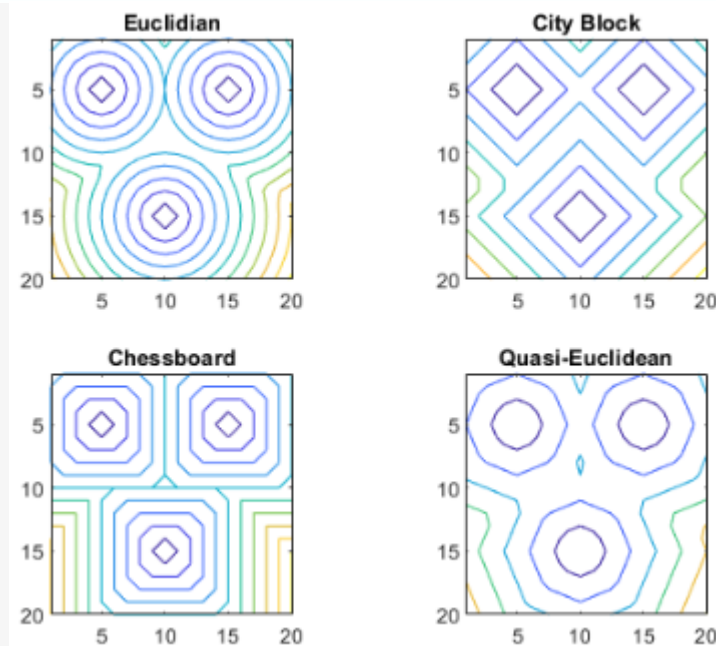
D_m é **5** porque o caminho laranja é mais curto que o caminho azul.

Exemplo de Distância

```
bw = zeros(20,20);  
bw(5,5) = 1;  
bw(5,15) = 1;  
bw(15,10) = 1;
```

```
D1 = bwdist(bw, "euclidean");  
D2 = bwdist(bw, "cityblock");  
D3 = bwdist(bw, "chessboard");  
D4 = bwdist(bw, "quasi-euclidean");
```

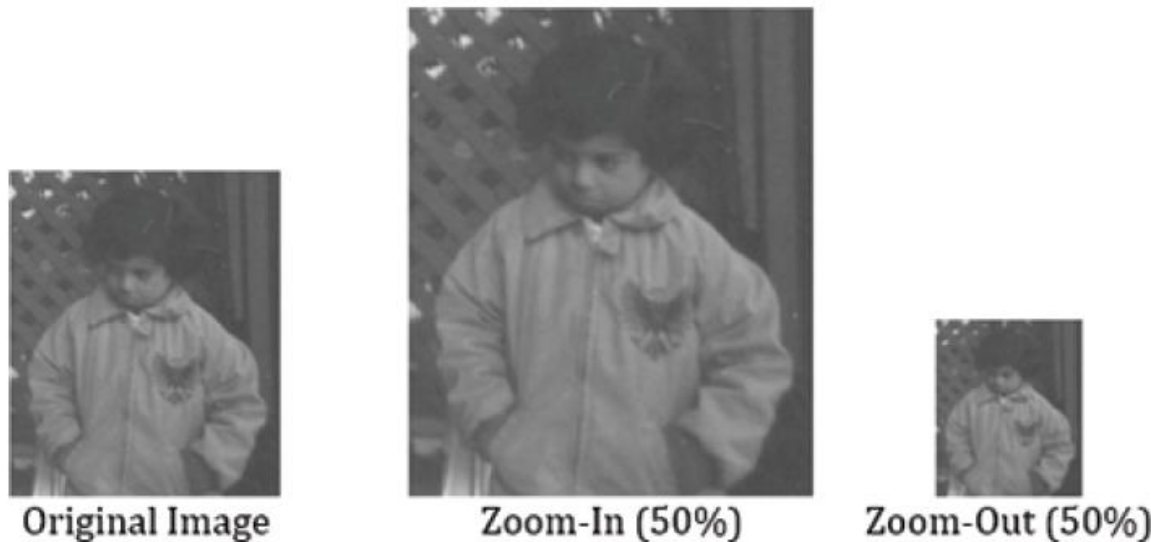
```
figure  
subplot(2,2,1);  
imagesc(mat2gray(D1)); imcontour(D1); title('Euclidian');  
subplot(2,2,2);  
imagesc(mat2gray(D2)); imcontour(D2); title('City Block');  
subplot(2,2,3);  
imagesc(mat2gray(D3)); imcontour(D3); title('Chessboard');  
subplot(2,2,4);  
imagesc(mat2gray(D4)); imcontour(D4); title('Quasi-Euclidean');
```



Resolução Espacial

Resolução Espacial

- A resolução espacial pode ser definida como o número de pixels por polegada.
- Diferentes resoluções espaciais da mesma imagem são mostradas na figura abaixo:



- A resolução espacial possui diferentes métodos de medição para dispositivos diferentes.

Resolução Espacial: DPI

Dot Per Inch (DPI):

- DPI é geralmente utilizado em monitores.
- As vezes é chamado de PPI (*Pixels Per Inch*).
- Entretanto, as duas expressões possuem uma diferença:
 - DPI é também usado para medir a resolução espacial de impressoras. Isso significa que DPI define quantos pontos de tinta por polegada na imagem impressa.

Resolução Espacial: DPI

Pixels Per Inch (PPI):

- PPI geralmente é usado em tablets, smartphones, etc.
- Se **a** e **b** são representam **altura** e **largura** na resolução de uma imagem, é possível calcular o valor dos PPI de um dispositivo através da equação:

$$PPI = \frac{\sqrt{a^2 + b^2}}{\text{Diagonal Size of Devices}}$$



Por exemplo: 1080x1920 *pixels*, 5.5 *inch* iPhone 6S Plus PPI:

$$PPI = \frac{\sqrt{1080^2 + 1920^2}}{5.5} \cong 401 \text{ (it is shown in apple web site)}$$

Resolução Espacial: DPI

Lines Per Inch (LPI):

- LPI são linhas de pontos por polegada de impressoras.
- A impressora possui diferentes valores de LPI, conforme mostrado na tabela abaixo:

| Printer | LPI value |
|--------------------------|------------|
| Screen printing | 45–65 LPI |
| Laser printing (300 dpi) | 65 LPI |
| Laser printing (600 dpi) | 85–105 LPI |

Detecção de Bordas

Detecção de Bordas

- A detecção de bordas é basicamente um método de segmentar uma imagem em regiões, com base em descontinuidades, ou seja, permite que o usuário observe as características de uma imagem onde há mudança mais ou menos abrupta no nível de cinza ou na textura, indicando o fim de uma região na imagem e o início de outra.
- A detecção de bordas faz uso de operadores diferenciais para detectar alterações nos gradientes de níveis de cinza ou de cores em uma imagem.
- A diferenciação é uma operação linear e uma aproximação discreta de um filtro diferencial que pode, então, ser implementada pelo método de núcleo (máscara de convolução).

Detecção de Bordas

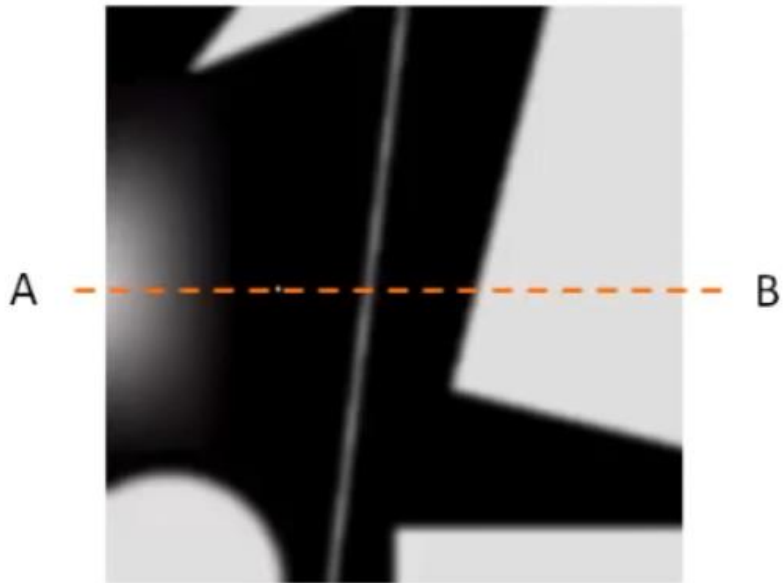
- Uma condição muito importante que devemos impor sobre o núcleo de um filtro desse tipo é que a resposta seja zero em regiões completamente suaves.
- Essa condição pode ser forçada assegurando que a soma dos pesos na máscara do núcleo seja zero.
- A detecção de bordas (que é a principal aplicação de filtros diferenciais) recebe auxílio de um estágio inicial suavizador (na maioria das vezes, gaussiano) para supressão de ruído.
- A detecção de bordas é dividida em duas categorias principais:
 - **Detecção de bordas de primeira ordem;**
 - **Detecção de bordas de segunda ordem.**

Detecção de Bordas

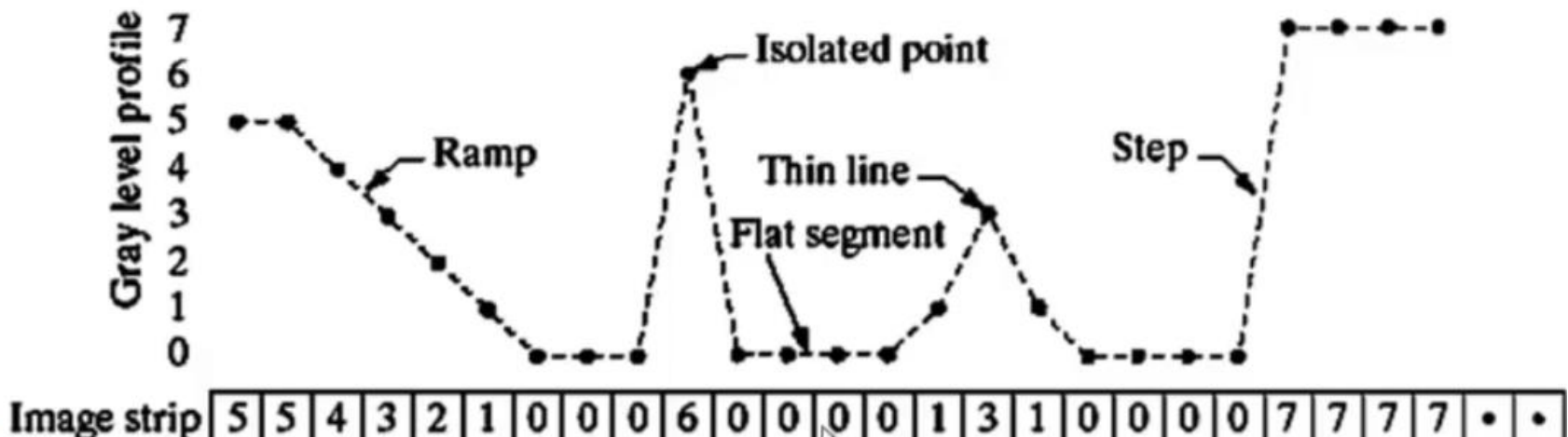
- A detecção de bordas utiliza o conceito de **filtros passa-alta**, que deixam passar as altas frequências da imagem (bordas e detalhes na imagem onde ouve uma transição abrupta nos níveis de intensidade do pixel), enquanto suprimem as baixas frequências.
- A figura mostra uma imagem com vários pontos onde ocorrem transições abruptas de intensidade:



Detecção de Bordas



- Exemplo: Se a imagem for composta por intensidades que variam entre 0-7, e analisarmos uma linha da matriz da imagem, podemos definir a variação das intensidades dos pixels como:



Cálculo da Primeira Derivada

- Uma vez que as intensidades são conhecidas, é possível calcular a primeira derivada da função f com relação a x com a fórmula:

$$\frac{\partial f}{\partial x} = f(x+1) - f(x)$$

- Isso mostra a diferença entre os valores subsequentes e calcula a taxa de mudança da função em relação a x .
- A primeira derivada é sensível a mudanças de intensidades nos pixels da imagem.

Cálculo da Primeira Derivada

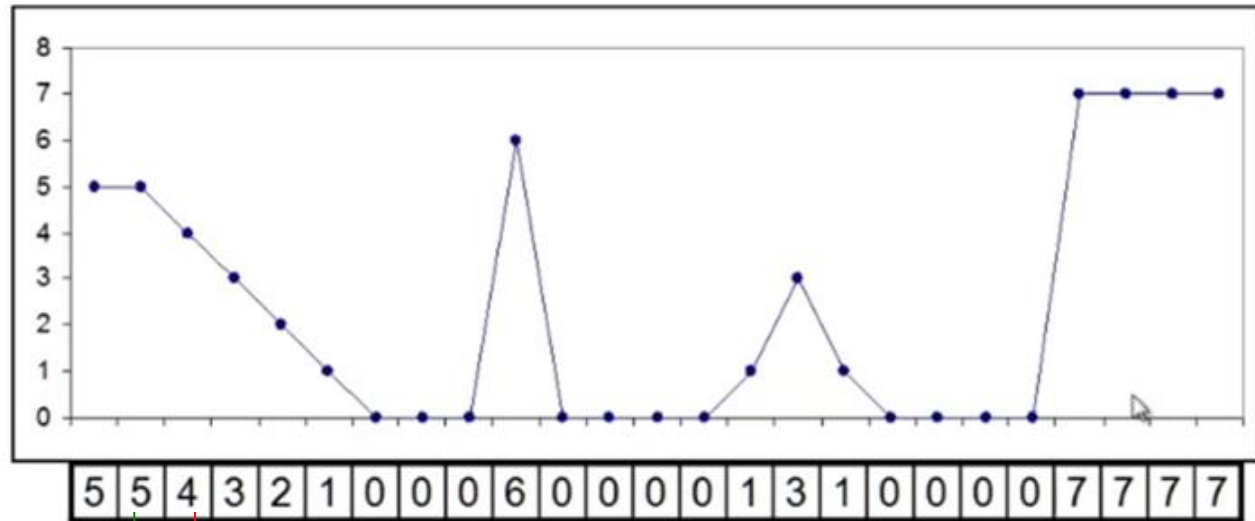
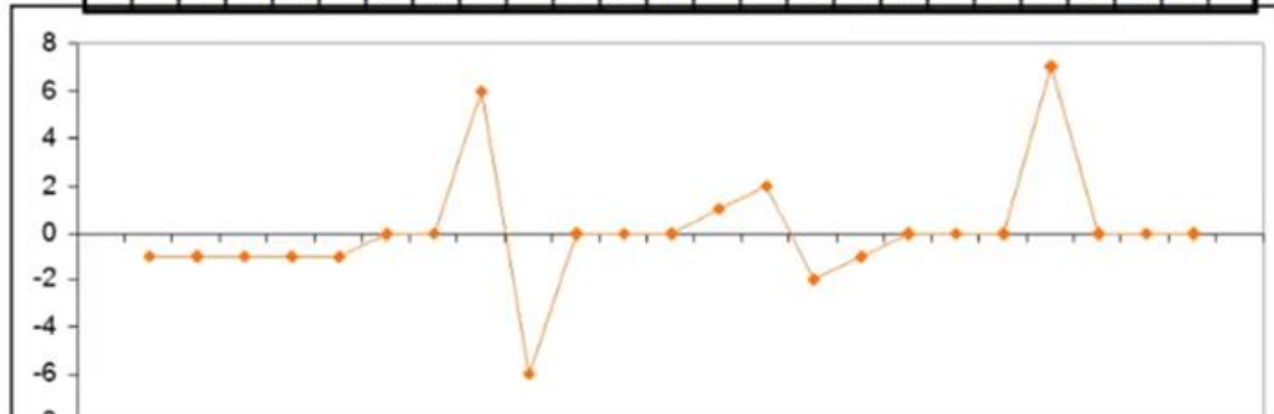
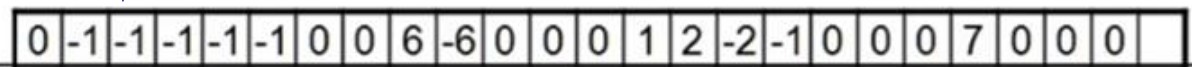


Diagram illustrating the calculation of the first derivative using the forward difference method:

$$4 - 5 = -1$$

Arrows indicate the values being subtracted: a red arrow points from the value 5 (at x=4) to the subtraction sign, and a green arrow points from the value 4 (at x=5) to the subtraction sign.



$$\frac{\partial f}{\partial x} = f(x+1) - f(x)$$

Cálculo da Primeira Derivada

- A **magnitude** do vetor é dado por:

$$\begin{aligned}\nabla f &= \text{mag}(\nabla f) \\ &= [G_x^2 + G_y^2]^{1/2} \\ &= \left[\left(\frac{\partial f}{\partial x} \right)^2 + \left(\frac{\partial f}{\partial y} \right)^2 \right]^{1/2}\end{aligned}$$

Prewitt Kernels

| | | |
|----|---|---|
| -1 | 0 | 1 |
| -1 | 0 | 1 |
| -1 | 0 | 1 |

| | | |
|----|----|----|
| -1 | -1 | -1 |
| 0 | 0 | 0 |
| 1 | 1 | 1 |

Gx (X derivative) Gy (Y derivative)

$$V = (G_x^2 + G_y^2)^{0.5}$$

- Simplificando...

$$\nabla f \approx |G_x| + |G_y|$$

Detecção de bordas de primeira ordem

- Três núcleos de filtros detectores de bordas de primeira ordem (Primeira Derivada) mais comuns são **Roberts**, **Prewitt** e **Sobel**.
- Os três são implementados como a combinação de dois núcleos: um para a derivada em relação a **x** e outro para a derivada em relação a **y**, derivadas das equações mostradas anteriormente.
- A principal diferença entre os operadores de *Sobel* e de *Prewitt* é que o núcleo de *Sobel* implementa diferenciação em uma direção e aplica média (aproximadamente) gaussiana na outra (núcleo gaussianos).

Detecção de bordas de primeira ordem

Roberts

| | |
|---|----|
| 0 | -1 |
| 1 | 0 |

**Derivada em
relação a X**

Prewitt

| | | |
|---|---|----|
| 1 | 0 | -1 |
| 1 | 0 | -1 |
| 1 | 0 | -1 |

Sobel

| | | |
|---|---|----|
| 1 | 0 | -1 |
| 2 | 0 | -2 |
| 1 | 0 | -1 |

| | |
|----|---|
| -1 | 0 |
| 0 | 1 |

**Derivada em
relação a Y**

| | | |
|----|----|----|
| 1 | 1 | 1 |
| 0 | 0 | 0 |
| -1 | -1 | -1 |

| | | |
|----|----|----|
| 1 | 2 | 1 |
| 0 | 0 | 0 |
| -1 | -2 | -1 |

Filtros detectores de bordas de primeira ordem.

Detector de Bordas
Gradiente Cruzado
de *Roberts*

h1

| | |
|---|----|
| 1 | 0 |
| 0 | -1 |

h2

| | |
|----|---|
| 0 | 1 |
| -1 | 0 |

$$|\nabla f(x, y)| \approx \sqrt{(f * h_1)^2 + (f * h_2)^2}$$

Detector de Bordas
Prewitt

h1

| | | |
|----|---|---|
| -1 | 0 | 1 |
| -1 | 0 | 1 |
| -1 | 0 | 1 |

h2

| | | |
|----|----|----|
| 1 | 1 | 1 |
| 0 | 0 | 0 |
| -1 | -1 | -1 |

$$|\nabla f(x, y)| \approx \sqrt{(f * h_1)^2 + (f * h_2)^2}$$

Detecção de bordas de primeira ordem

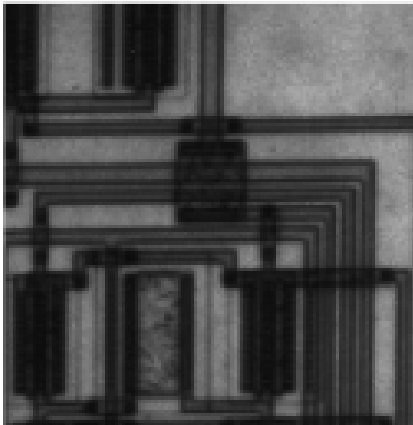
- ***Para encontrar a borda de objetos em uma imagem, usa-se os dois filtros independentemente e, após, soma-se os resultados.***
- Os algoritmos mais comuns para detecção de bordas são: *Sobel, Canny, Prewitt, Roberts*, etc.

```
I = imread('circuit.tif');
Prewitt = edge(I, 'Prewitt');
Canny = edge(I, 'Canny');
Sobel = edge(I, 'Sobel');

subplot(2,2,1); imshow(I); title("Imagem Original");
subplot(2,2,2); imshow(Prewitt); title("Prewitt");
subplot(2,2,3); imshow(Canny); title("Canny");
subplot(2,2,4); imshow(Sobel); title("Sobel");
```

Detecção de bordas de primeira ordem

Imagem Original



Prewitt



```
>> f = fspecial('prewitt')
```

```
f =
```

```
    1    1    1
    0    0    0
   -1   -1   -1
```

```
>> f = fspecial('prewitt')
```

```
f =
```

```
    1    0   -1
    1    0   -1
    1    0   -1
```

Canny



Sobel



```
>> f = fspecial('sobel')
```

```
f =
```

```
    1    2    1
    0    0    0
   -1   -2   -1
```

```
>> f = fspecial('sobel')
```

```
f =
```

```
    1    0   -1
    2    0   -2
    1    0   -1
```

Detecção de bordas de primeira ordem (Sobel)

```
I = imread('circuit.tif'); % Lê a imagem

% Filtros para suavização
kMedia = ones(3,3)/9;
kGaussiano = fspecial('gaussian', [5 5], 2);

% Filtros de Sobel
k1 = [1 0 -1;
      2 0 -2;
      1 0 -1];

k2 = [1 2 1;
      0 0 0;
      -1 -2 -1];

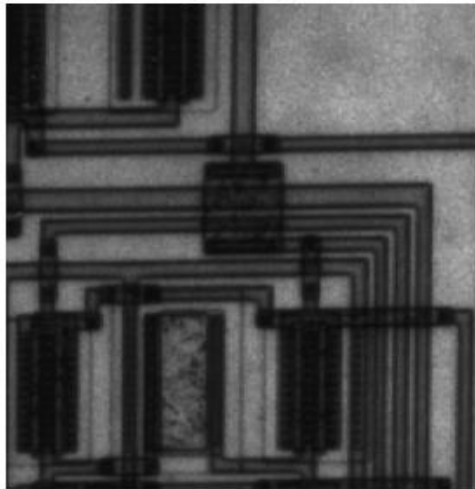
SobelV = filter2(k1, I); % Aplica filtro com relação a Y
SobelH = filter2(k2, I); % Aplica filtro com relação a X
SobelEdge = sqrt(SobelV.^2 + SobelH.^2); % Combina o resultado dos dois filtros

SobelEdgeBW = imbinarize(SobelEdge/255); % Converte a imagem para preto/branco
SobelEdgeBW_Filtered = imfilter(SobelEdgeBW, kMedia); % Remove ruído da imagem

% Exibe resultados
figure, imshow(I); title('Imagem Original');
figure, imshow(SobelV/255); title('Sobel Vertical');
figure, imshow(SobelH/255); title('Sobel horizontal');
figure, imshow(SobelEdge/255); title('Sobel Edge');
figure, imshow(SobelEdgeBW); title('Sobel Edge BW');
```

Detecção de bordas de primeira ordem (Sobel)

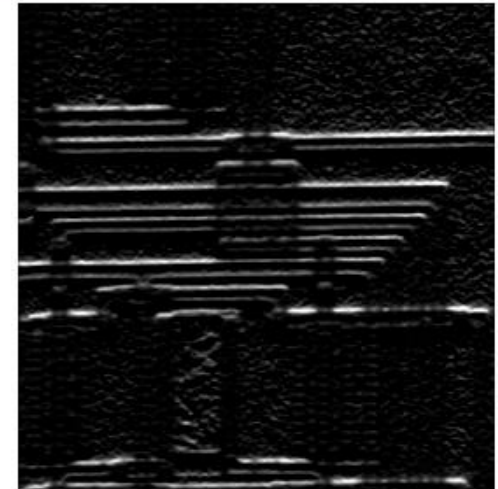
Imagem Original



Sobel Vertical



Sobel horizontal



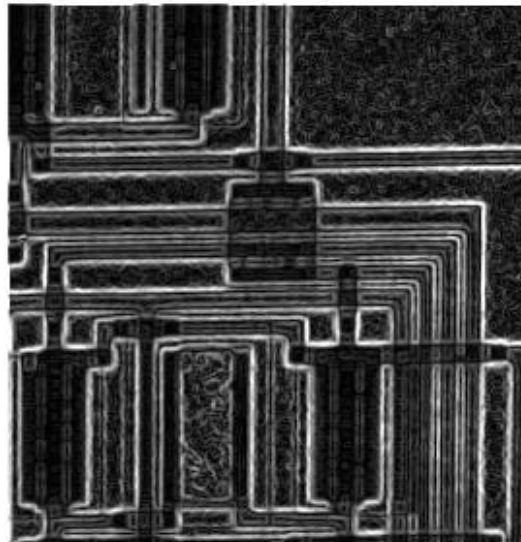
Sobel

| | | |
|---|---|----|
| 1 | 0 | -1 |
| 2 | 0 | -2 |
| 1 | 0 | -1 |

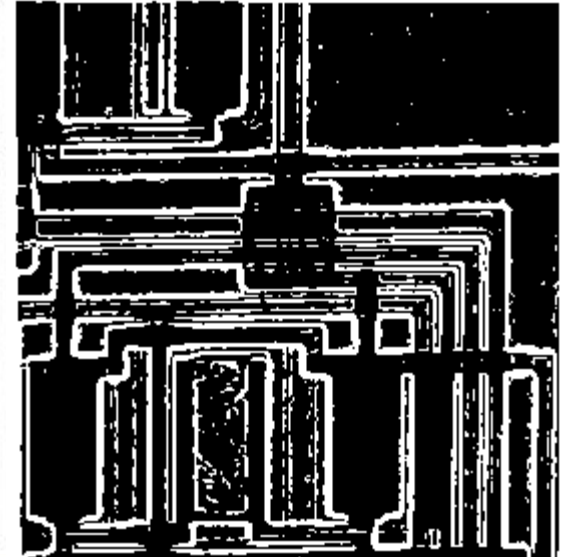
| | | |
|----|----|----|
| 1 | 2 | 1 |
| 0 | 0 | 0 |
| -1 | -2 | -1 |

$$V = (G_x^2 + G_y^2)^{0.5}$$

Sobel Edge



Sobel Edge BW



Detecção de bordas de segunda ordem

- Em geral, filtros de bordas de primeira ordem não são de uso muito comum no realce de imagens.
- *Seu principal uso reside no processo de detecção de bordas, como um estágio no procedimento de segmentação de imagem.*
- Uma abordagem muito mais comum para o realce de imagens é o uso de um operador diferencial de segunda ordem: o **laplaciano**.

Detecção de bordas de segunda ordem

- Um operador diferencial de segunda ordem muito popular é o **laplaciano**:

$$\nabla^2 f = \frac{\partial^2 f}{\partial x^2} + \frac{\partial^2 f}{\partial y^2}$$

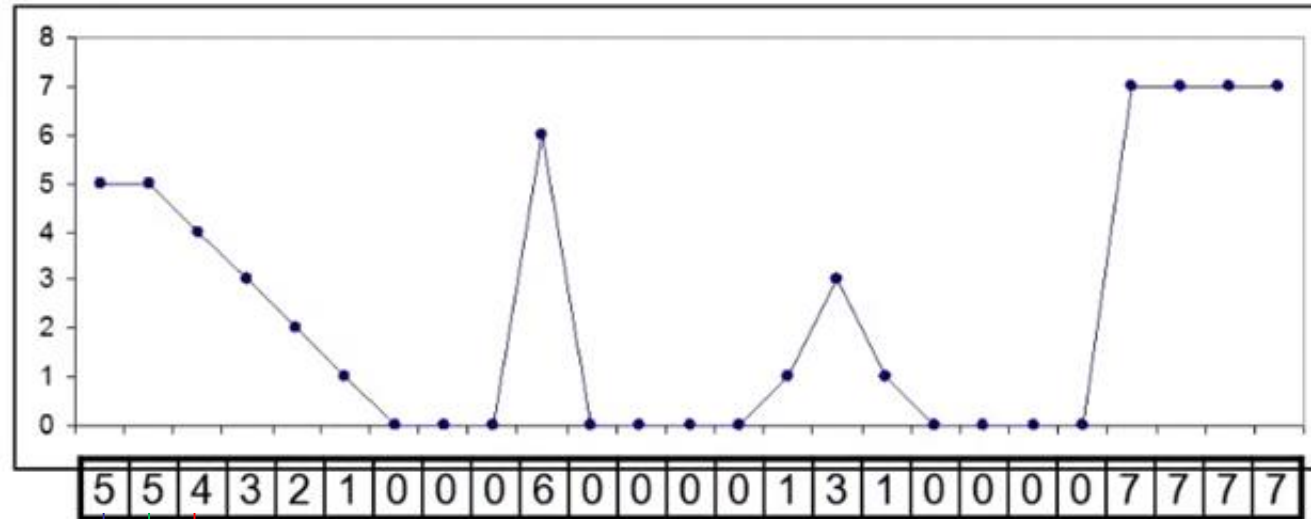
- Onde a derivada parcial de primeira ordem na direção de **x** é definida como:

$$\frac{\partial^2 f}{\partial^2 x} = f(x+1, y) + f(x-1, y) - 2f(x, y)$$

- Na direção de **y** é definida como:

$$\frac{\partial^2 f}{\partial^2 y} = f(x, y+1) + f(x, y-1) - 2f(x, y)$$

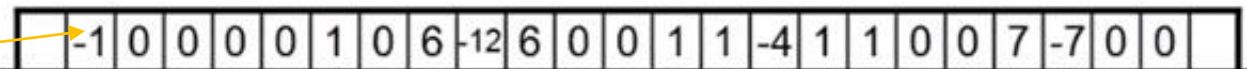
Cálculo da Segunda Derivada



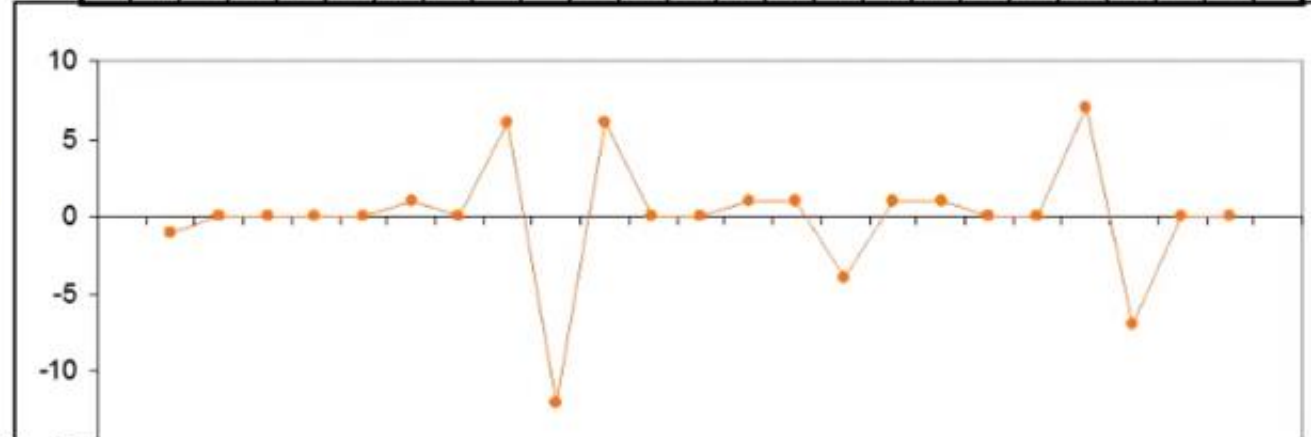
$$4 + 5 - 2 \times 5 = -1$$

Diagram illustrating the calculation of the second derivative at a specific point. Arrows indicate the values used in the formula:

- Red arrow: points to the value 4 (at $x-1, y$).
- Blue arrow: points to the value 5 (at x, y).
- Green arrow: points to the value 5 (at $x+1, y$).



$$\frac{\partial^2 f}{\partial^2 x} = f(x+1, y) + f(x-1, y) - 2f(x, y)$$



Detecção de bordas de segunda ordem

- Na forma discreta do Laplaciano, esse operador é dado como:

$$\nabla^2 f = f(x+1, y) + f(x-1, y) + f(x, y+1) + f(x, y-1) - 4f(x, y)$$

- Isso pode ser facilmente implementado em um núcleo de filtro 3 x 3, como mostrado na figura A:

| | | |
|---|----|---|
| 0 | 1 | 0 |
| 1 | -4 | 1 |
| 0 | 1 | 0 |

Detecção de bordas de segunda ordem

- Uma das possíveis limitações da aplicação da máscara na forma dada na figura A é a intensidade relativa de características da imagem posicionadas aproximadamente em direções diagonais em relação aos eixos da imagem.
- Se imaginarmos a rotação dos eixos em 45° e superpusermos o laplaciano após rotação ao original, poderemos construir um filtro que seja invariante em relação a múltiplas rotações de 45° , figura B:

The diagram illustrates the construction of a rotation-invariant Laplacian filter. It shows three 3x3 grids. The first grid, labeled A, is the standard Laplacian mask: $\begin{bmatrix} 0 & -1 & 0 \\ -1 & 4 & -1 \\ 0 & -1 & 0 \end{bmatrix}$. An arrow points from it to a second grid, which is the same mask rotated 45 degrees clockwise, with values $\begin{bmatrix} 0 & -1 & 0 \\ -1 & 4 & -1 \\ 0 & -1 & 0 \end{bmatrix}$ in a diamond orientation. A plus sign follows, then a third grid identical to A. An approximation symbol \approx follows, leading to the final grid B: $\begin{bmatrix} -1 & -1 & -1 \\ -1 & 8 & -1 \\ -1 & -1 & -1 \end{bmatrix}$.

| | | |
|----|----|----|
| 0 | -1 | 0 |
| -1 | 4 | -1 |
| 0 | -1 | 0 |

A

| | | |
|----|----|----|
| 0 | -1 | 0 |
| -1 | 4 | -1 |
| 0 | -1 | 0 |

B

Detecção de bordas de segunda ordem

$$\nabla^2 f = \frac{\partial^2 f}{\partial x^2} + \frac{\partial^2 f}{\partial y^2}$$

- O Laplaciano de uma função f é soma da segunda derivada parcial de f em relação a X , com a segunda derivada parcial de f em relação a Y .
- Máscaras para o filtro Laplaciano:
 - **Centro Negativo**: remove bordas exteriores.
 - **Centro positivo**: remove bordas interiores.
- O valor do pixel central da máscara está relacionado com os pixels da vizinhança utilizados nos cálculos.

a

| | | |
|---|----|---|
| 0 | 1 | 0 |
| 1 | -4 | 1 |
| 0 | 1 | 0 |

b

| | | |
|---|----|---|
| 1 | 1 | 1 |
| 1 | -8 | 1 |
| 1 | 1 | 1 |

c

| | | |
|----|----|----|
| 0 | -1 | 0 |
| -1 | 4 | -1 |
| 0 | -1 | 0 |

d

| | | |
|----|----|----|
| -1 | -1 | -1 |
| -1 | 8 | -1 |
| -1 | -1 | -1 |

- (a) Máscara de filtragem utilizada para implementar a Equação
- (b) Máscara utilizada para implementar uma extensão dessa equação que inclui os termos diagonais.
- (c) e (d) Duas outras implementações do laplaciano frequentemente encontradas na prática.

Cálculo das Derivadas

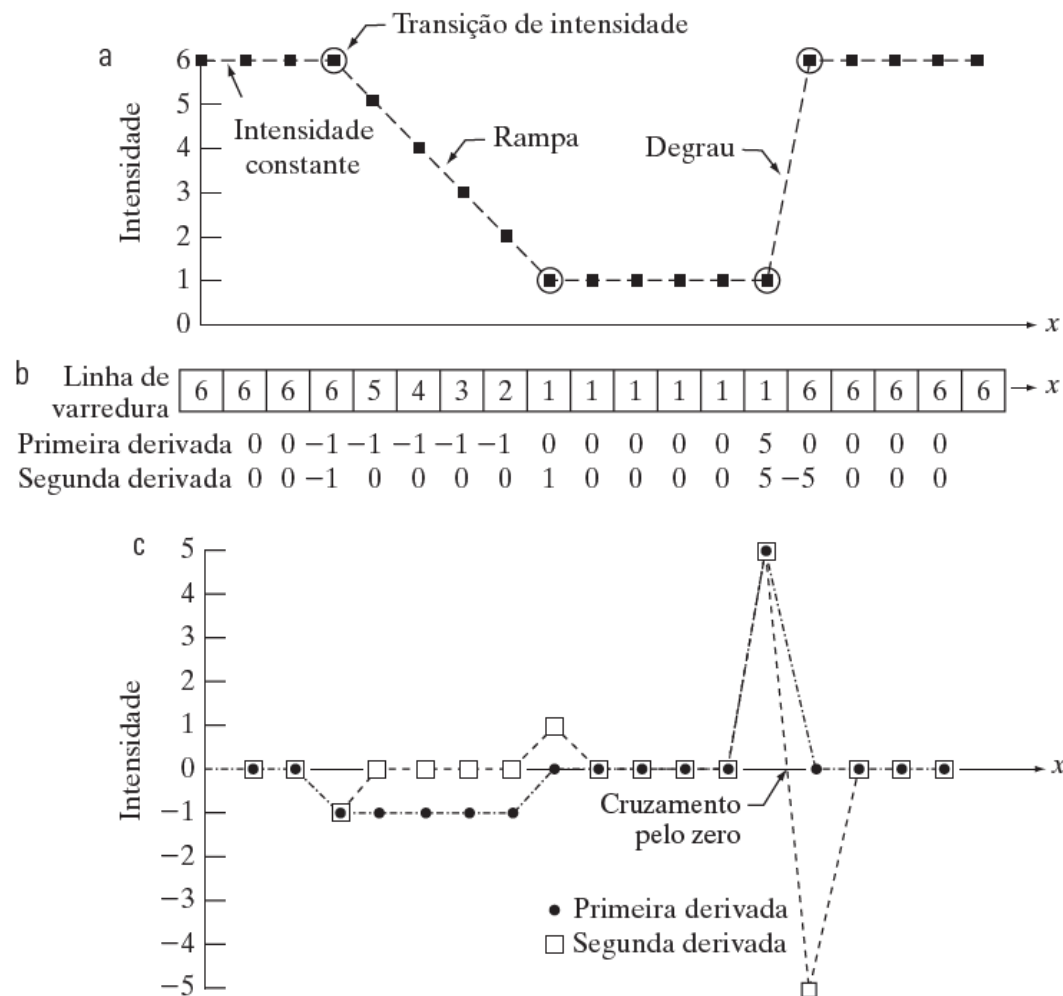
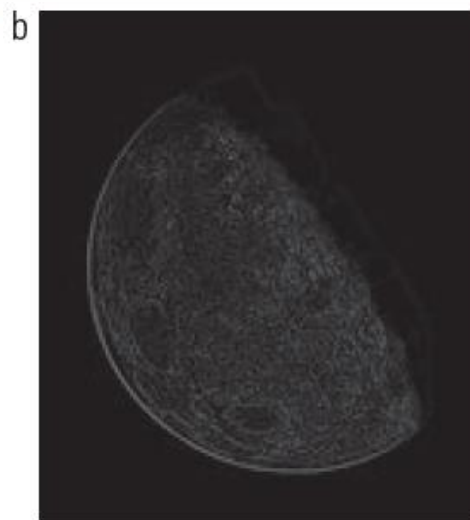


Ilustração do primeiro e do segundo derivativo de uma função digital unidimensional representando uma seção de um perfil de intensidade horizontal de uma imagem. Em (a) e (c), os pontos de dados são ligados por linhas tracejadas para facilitar a visualização.

Detecção de bordas de segunda ordem



- (a) Imagem borrada do polo norte da Lua.
(b) Laplaciano sem ajuste.
(c) Laplaciano com ajuste.
(d) Imagem aguçada utilizando a máscara

| | | |
|---|----|---|
| 0 | 1 | 0 |
| 1 | -4 | 1 |
| 0 | 1 | 0 |

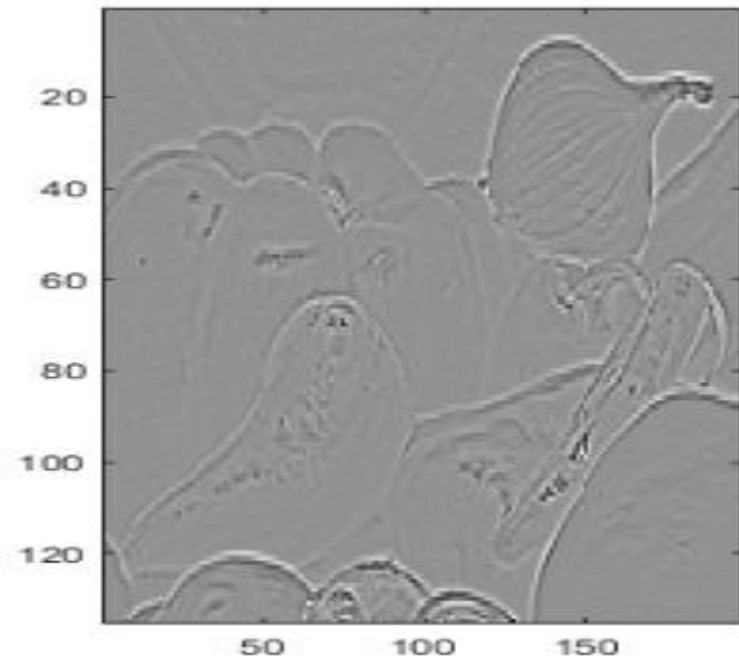
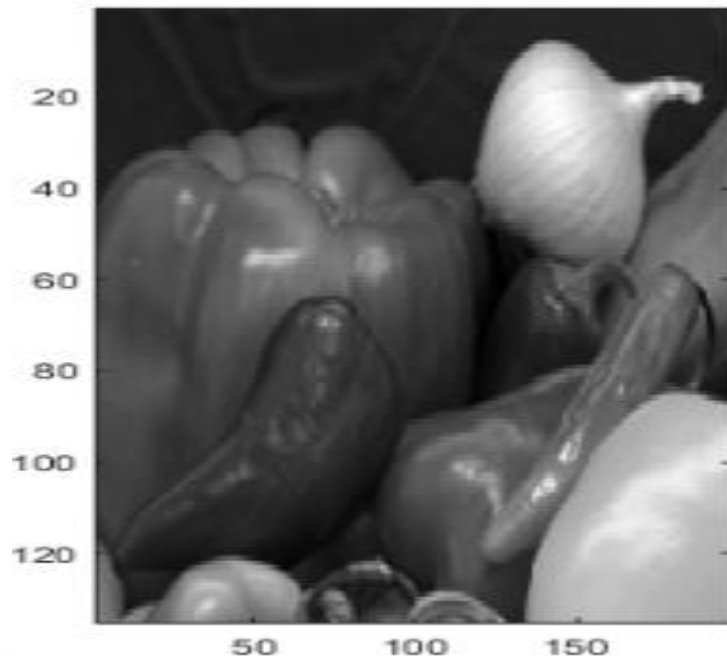
- (e) Resultado da utilização da máscara

| | | |
|---|----|---|
| 1 | 1 | 1 |
| 1 | -8 | 1 |
| 1 | 1 | 1 |

Detecção de bordas de segunda ordem

```
I = rgb2gray(imread('onion.png')); % Lê a imagem (em escala de cinza)
k = fspecial('laplacian'); % Cria o filtro laplaciano
IEI = imfilter(double(I), k, 'symmetric'); % Bordas com filtro laplaciano

% Exibe os resultados
subplot(1,2,1), imagesc(I);
subplot(1,2,2), imagesc(IEI);
colormap('gray');
```



Detecção de bordas de segunda ordem

- Neste exemplo, primeiro, foi construído o filtro laplaciano e, então, foi aplicado à imagem usando a função ***imfilter()***.
- Repare no uso direto da função ***rgb2gray()*** para carregar a imagem em questão (em cores) em escala de cinza.
- Ademais, foi realizada a operação do laplaciano na versão da imagem de entrada em ponto flutuante (função ***double()***);
- Como o operador laplaciano retorna valores positivos e negativos, foram usadas as funções ***imagesc()*** e ***colormap()*** para adequar a escala e exibir a imagem.

Operações Morfológicas

Operações Morfológicas

- A palavra morfologia denota um ramo da biologia que lida com a forma e a estrutura de animais e plantas.
- A morfologia matemática serve como ferramenta para extrair componentes da imagem (estrutura e forma) que são úteis para a descrição e representação.
- Além disso, a morfologia matemática pode ser aplicada para pré e pós-processamento de imagens.
- Operações morfológicas podem ser aplicadas a imagens de todos os tipos, mas o principal uso de morfologia é no processamento de **imagens binárias**.

Operações Morfológicas

- *Morfologia digital* ou *matemática* é uma modelagem destinada à descrição ou análise da forma de um objeto digital.
- As operações básicas da morfologia digital são:
 - A *erosão*, a partir da qual são removidos da imagem os pixels que não atendem a um dado padrão;

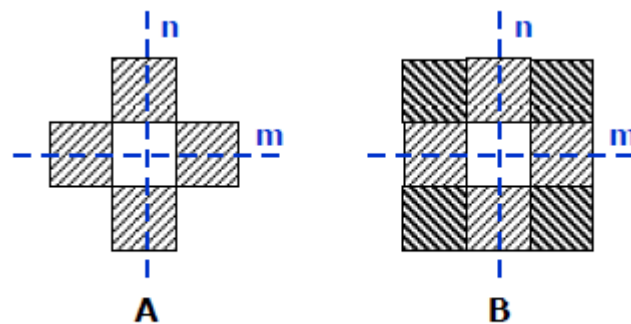
$$\text{Erosão: } E(A, B) = A \ominus B = \{x \in E \mid Bx \subseteq A\}$$

- A *dilatação*, a partir da qual uma pequena área relacionada a um pixel é alterada para um dado padrão.

$$\text{Dilatação: } D(A, B) = A \oplus B = A \oplus B = \{x \in E \mid Bx \cap A \neq \emptyset\}$$

Operações Morfológicas

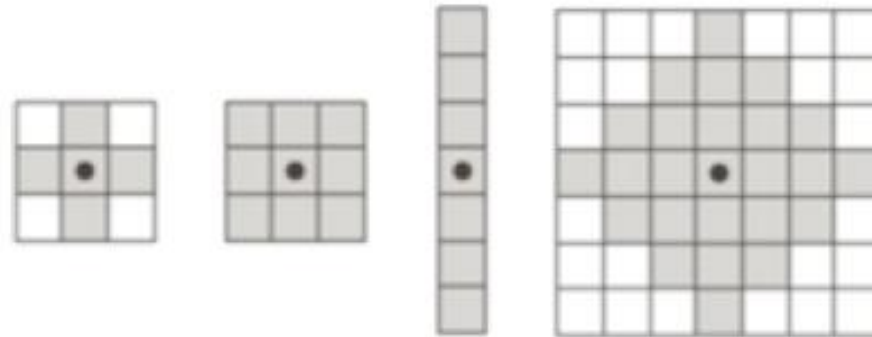
- Tanto o conjunto **A** quanto o conjunto **B** podem ser considerados como sendo imagens.
- Todavia, **A** costuma ser considerado como sendo a imagem sob análise e **B** como o *elemento estruturante*, o qual está para a morfologia como a *máscara* (*mask*, *template* ou *kernel*) está para teoria de filtragem linear.
- Os *elementos estruturantes* mais comuns são os conjuntos 4-conexões e 8-conexões, **N4** e **N8**:



Elementos estruturantes: (A) padrão N_4 ; e (B) padrão N_8 .

Elementos Estruturantes (SE)

- Uma operação morfológica binária é determinada a partir da vizinhança examinada ao redor do ponto central.
- Essa vizinhança é definida por um conjunto de pixels com um formato, chamado de **elemento estruturante**.
- Um elemento estruturante é definido pelos pixels que o constituem e uma forma que possui diferentes tamanhos (3x3, 4x4, 5x5, etc) e formatos:



Operações Morfológicas: Dilatação

- **Dilatação** é o processamento morfológico para crescimento (expansão) de um objeto em uma imagem.
- A dilatação, em geral, faz com que o objeto cresça no tamanho. Buracos menores do que o elemento estruturante são eliminados e o número de componentes pode diminuir.

$$C = A \oplus B$$

onde:

C é a nova imagem;

A é a imagem original;

B é o elemento estruturante.

Operações Morfológicas: Dilatação

$$\text{Dilatação: } D(A, B) = A \oplus B = A \oplus B = \{x \in E \mid Bx \cap A \neq \emptyset\}$$

- Passar o elemento estruturante por todos os pixels da imagem original:
 - Se o valor do pixel sob o elemento central for diferente de 0, copie todos os valores 1 do elemento estruturante para a imagem resultante.

Original Binary Image



Dilation Image (3x3) Square SE



Dilation Image (3x3) Diamond SE

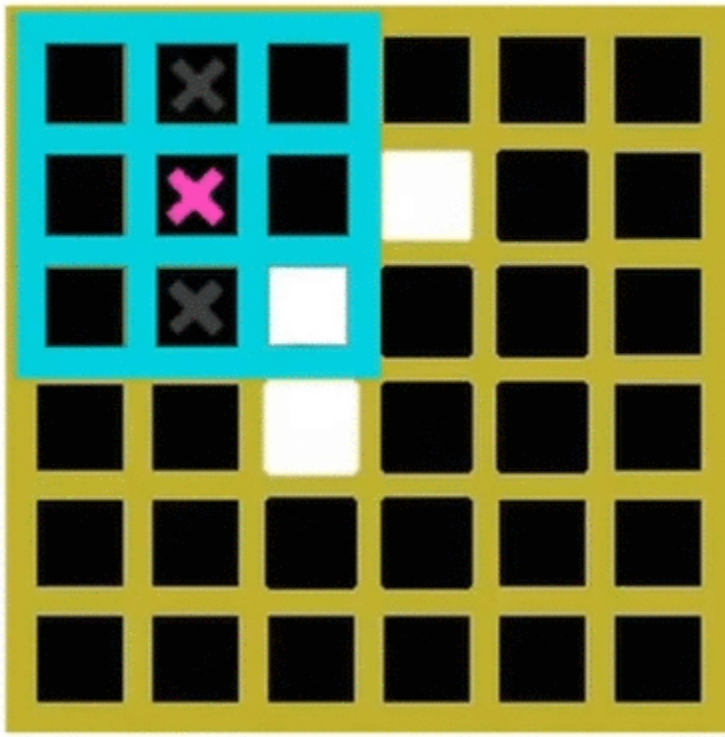


Dilation Image (3x3) Ball SE

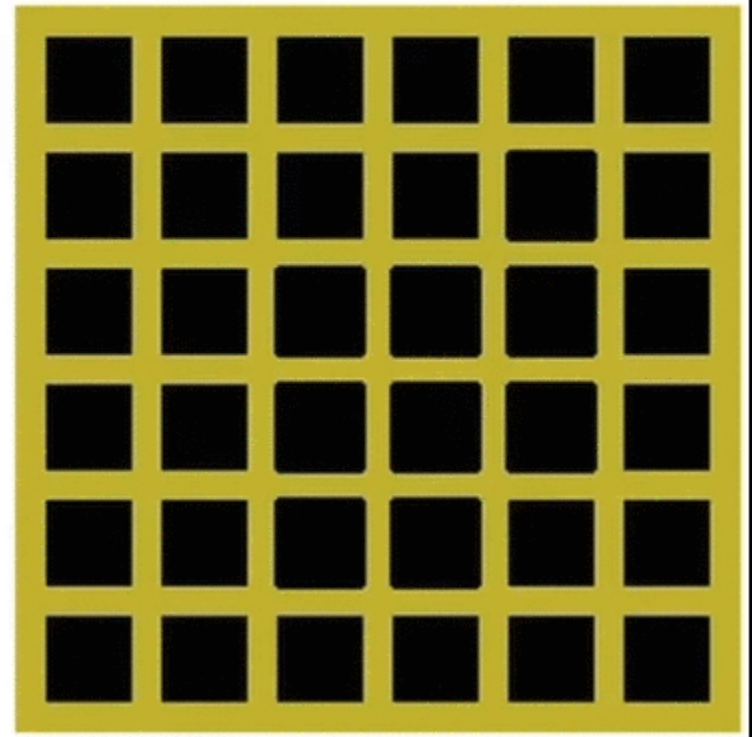


Operações Morfológicas: Dilatação

Original



Dilatação



Operações Morfológicas: Dilatação

```
% Lê uma imagem binária
I = imread("J.bmp");

% Define um elemento estruturante do tipo quadrado 3x3
SE_square = strel('square', 3);
% Aplica a convolução da imagem original (I) com o elemento estruturante (SE)
dilationsq = imdilate(I, SE_square);

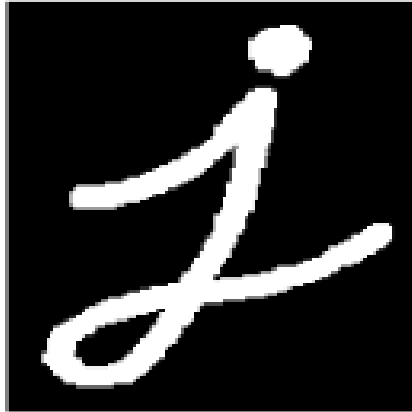
% Define um elemento estruturante do tipo diamante 3x3
SE_diamond = strel('diamond', 3);
% Aplica a convolução da imagem original (I) com o elemento estruturante (SE)
dilationdm = imdilate(I, SE_diamond);

% Define um elemento estruturante do tipo linha
SE_line = strel('line', 9, 0);
% Aplica a convolução da imagem original (I) com o elemento estruturante (SE)
dilationl = imdilate(I, SE_line);

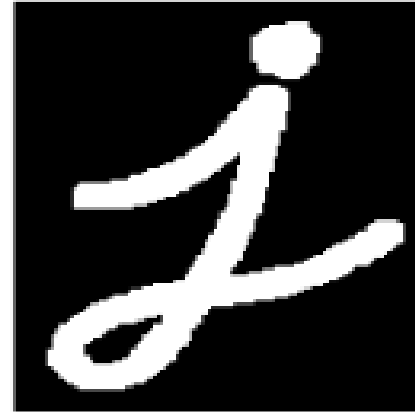
% Exibe resultados
subplot(2,2,1); imshow(I); title("Imagem Original");
subplot(2,2,2); imshow(dilationsq); title("Dilatação com Square SE 3x3");
subplot(2,2,3); imshow(dilationdm); title("Dilatação com Diamond SE 3x3");
subplot(2,2,4); imshow(dilationl); title("Dilatação com Line SE");
```

Operações Morfológicas: Dilatação

Imagem Original



Dilatação com Square SE 3x3



Dilatação com Diamond SE 3x3



Dilatação com Line SE



Operações Morfológicas: Erosão

- **Erosão** é o processamento morfológico para diminuição (contração) de um objeto em uma imagem.
- A erosão reduz as dimensões do objeto. Objetos menores do que o elemento estruturante são eliminados e o número de componentes pode aumentar.

$$C = A \ominus B$$

onde:

C é a nova imagem;

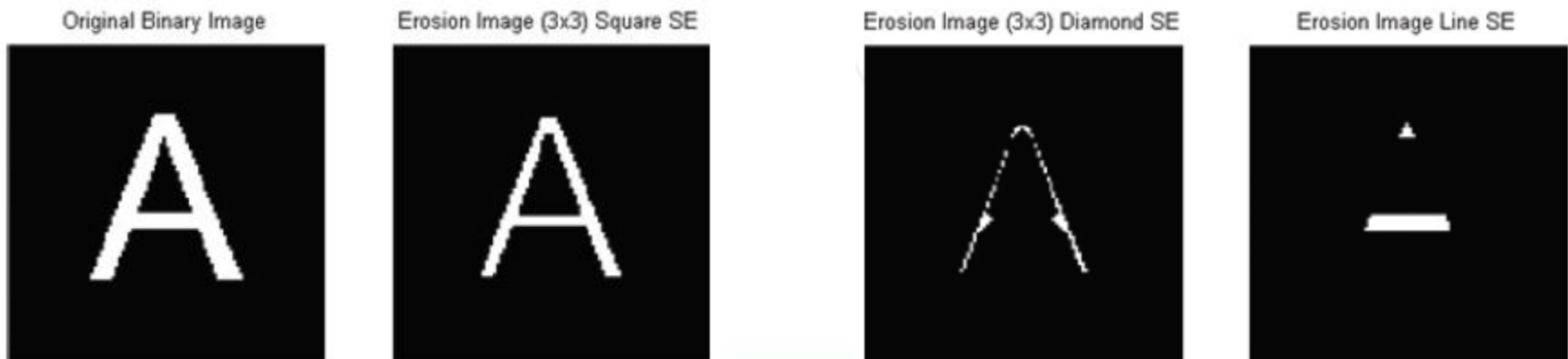
A é a imagem original;

B é o elemento estruturante.

Operações Morfológicas: Erosão

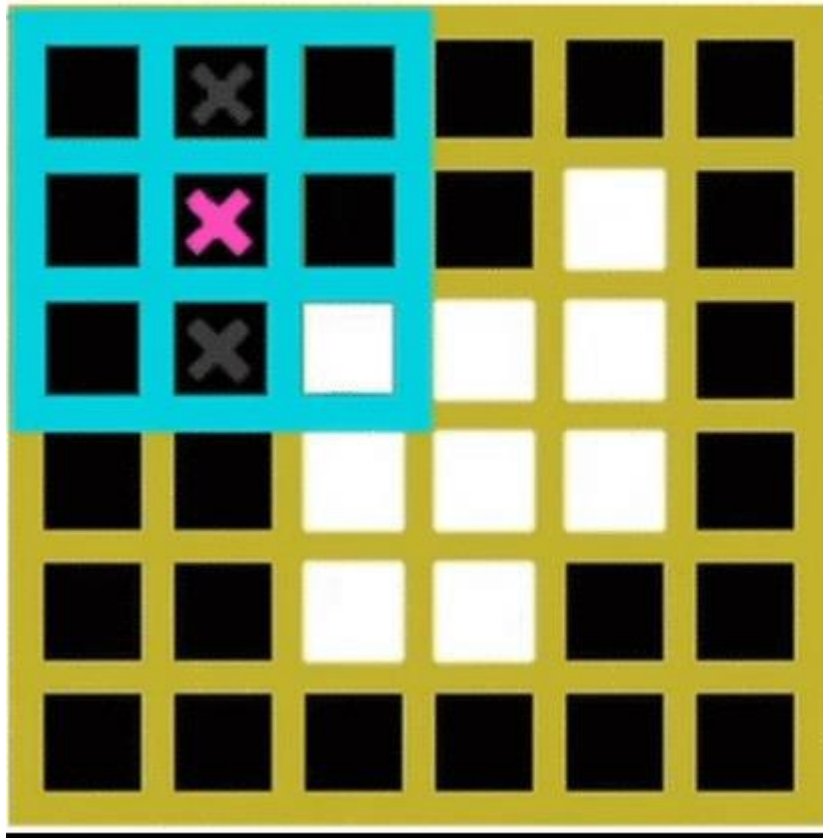
$$\text{Erosão: } E(A, B) = A \ominus B = \{x \in E \mid Bx \subseteq A\}$$

- Passar o elemento estruturante por todos os pixels da imagem original:
 - Se nenhum valor dos pixels da imagem sob os valores nulos do elemento estruturante for 0, ponha 1 no resultado.

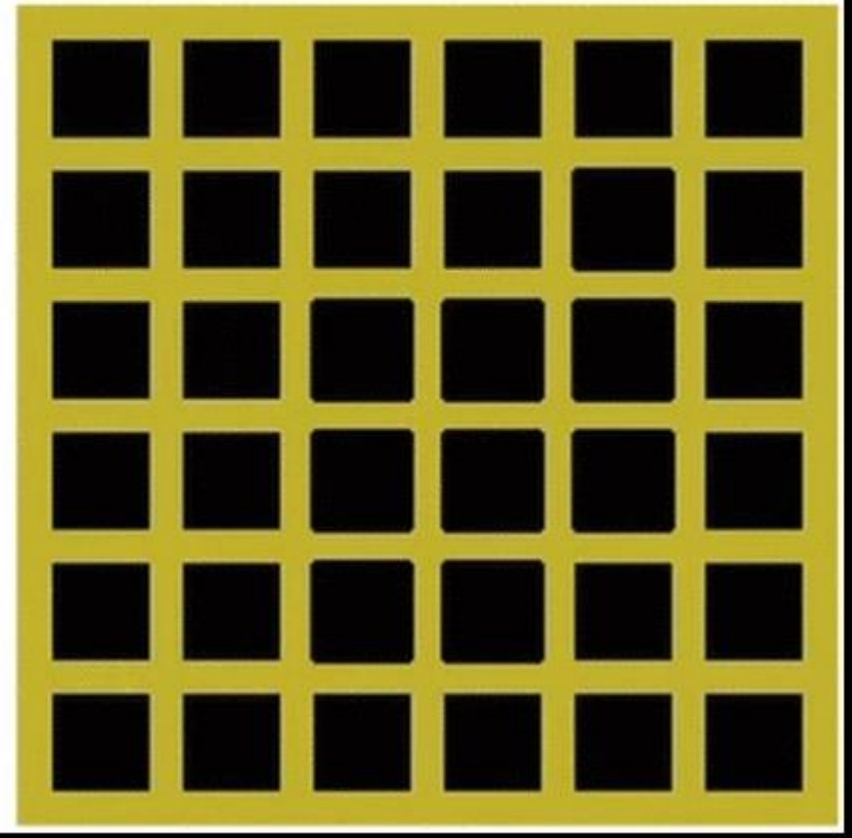


Operações Morfológicas: Erosão

Original



Erosão



Operações Morfológicas: Erosão

```
% Lê uma imagem binária
I = imread("J.bmp");

% Define um elemento estruturante do tipo quadrado 3x3
SE_square = strel('square', 3);
% Aplica a convolução da imagem original (I) com o elemento estruturante (SE)
erodesq = imerode(I, SE_square);

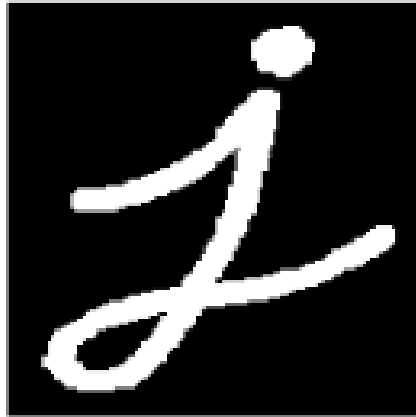
% Define um elemento estruturante do tipo diamante 3x3
SE_diamond = strel('diamond', 3);
% Aplica a convolução da imagem original (I) com o elemento estruturante (SE)
erodedm = imerode(I, SE_diamond);

% Define um elemento estruturante do tipo linha
SE_line = strel('line', 9, 0);
% Aplica a convolução da imagem original (I) com o elemento estruturante (SE)
erodel = imerode(I, SE_line);

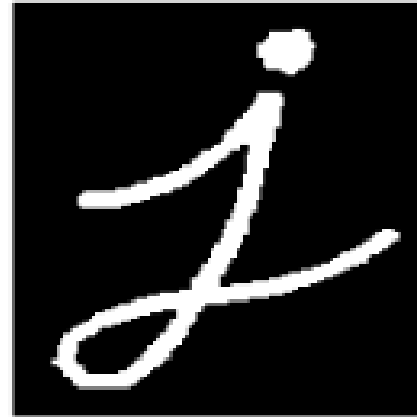
% Exibe resultados
subplot(2,2,1); imshow(I); title("Imagem Original");
subplot(2,2,2); imshow(erodesq); title("Erosão com Square SE 3x3");
subplot(2,2,3); imshow(erodedm); title("Erosão com Diamond SE 3x3");
subplot(2,2,4); imshow(erodel); title("Erosão com Line SE");
```

Operações Morfológicas: Erosão

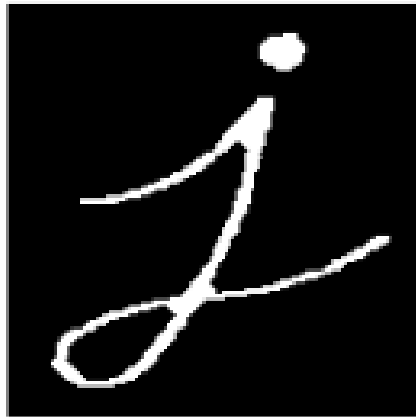
Imagem Original



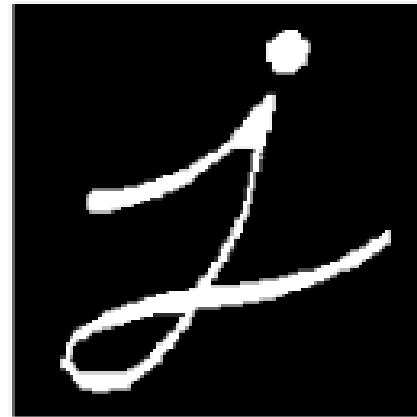
Erosão com Square SE 3x3



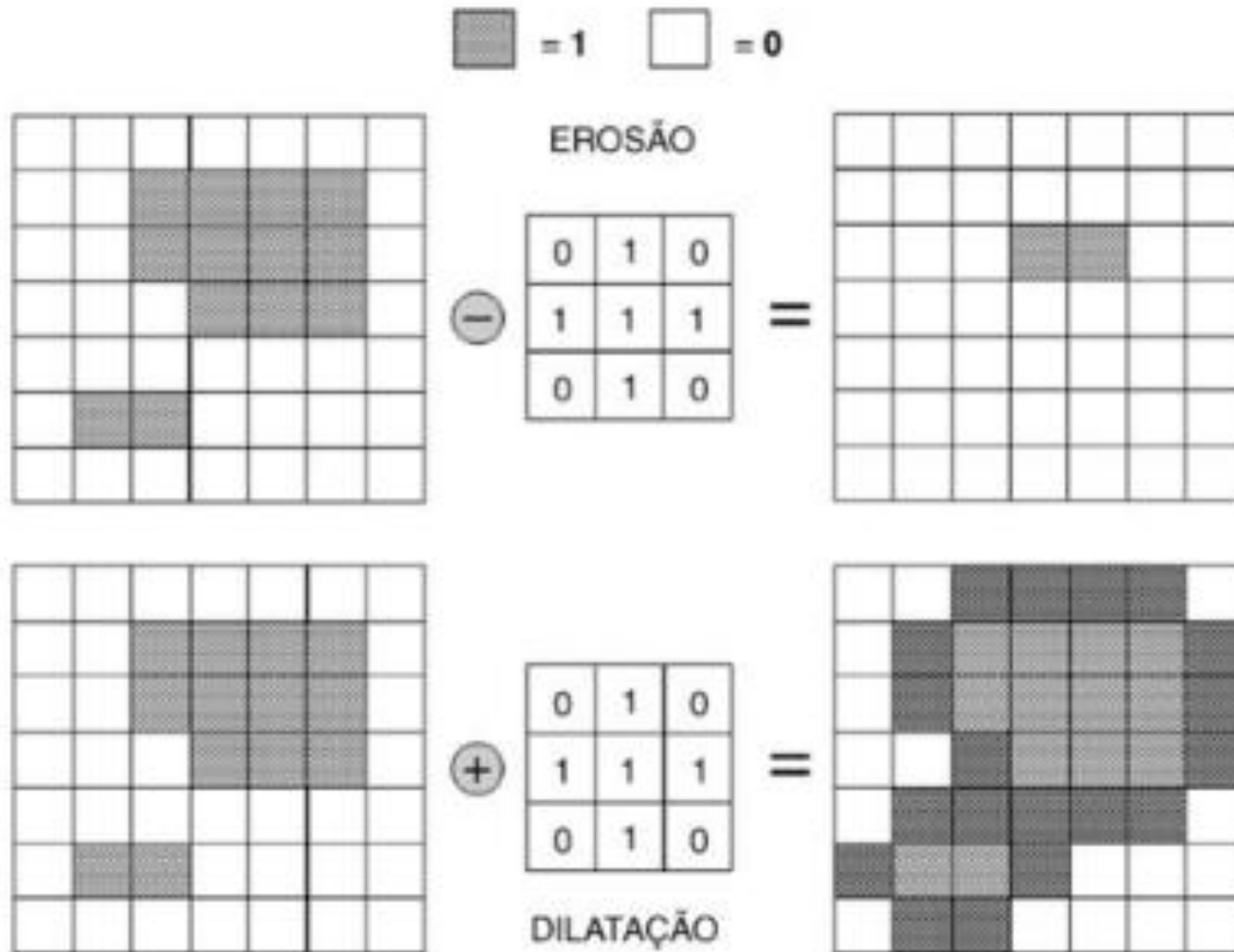
Erosão com Diamond SE 3x3



Erosão com Line SE



Operações Morfológicas



Operações Morfológicas: Abertura

- **Abertura** pode ser usada para suavizar o contorno de uma imagem, quebrar istmos estreitos, eliminar proeminências delgadas, abrir buracos e eliminar ruídos na imagem.

$$C = (A \ominus B) \oplus B$$

onde:

C é a nova imagem;

A é a imagem original;

B é o elemento estruturante.

Original Binary Image



Opening



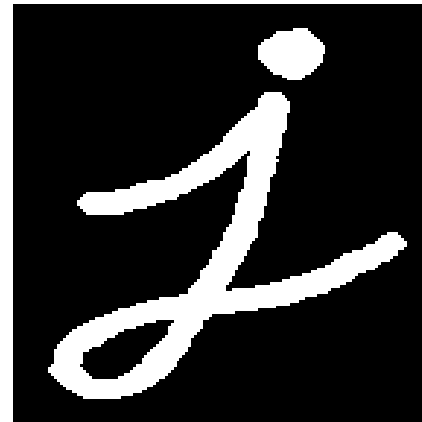
Operações Morfológicas: Abertura

```
% Lê uma imagem binária  
I = imread("J_Open.bmp");  
  
% Define um elemento estruturante do tipo diamante com raio 3  
SE = strel("diamond", 3);  
  
% Aplica a convolução da imagem original (I) com o elemento estruturante (SE)  
open = imopen(I, SE);  
  
% Exibe resultados  
subplot(2,2,1); imshow(I); title("Imagem Original");  
subplot(2,2,2); imshow(open); title("Abertura");
```

Imagem Original



Abertura



Operações Morfológicas: Fechamento

- **Fechamento** pode ser usado para fundir pequenas quebras, alargar golfos estreitos e fechar buracos na imagem.

$$C = (A \oplus B) \ominus B$$

onde:

C é a nova imagem;

A é a imagem original;

B é o elemento estruturante.

Original Binary Image



Closing



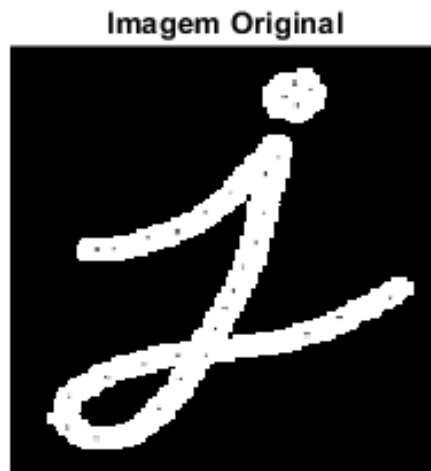
Operações Morfológicas: Fechamento

```
% Lê uma imagem binária
I = imread("J_Close.bmp");

% Define um elemento estruturante do tipo disco com raio 2
SE = strel('disk', 2, 0);

% Aplica a convolução da imagem original (I) com o elemento estruturante (SE)
close = imclose(I, SE);

% Exibe resultados
subplot(1,2,1); imshow(I); title("Imagem Original");
subplot(1,2,2); imshow(close); title("Fechamento");
```



Operações Morfológicas: Abertura e Fechamento

```
% Lê uma imagem binária
I = imread("J.bmp");

% Define um elemento estruturante do tipo disco com raio 4
SE = strel('disk', 4, 0);

% Aplica a convolução da imagem original (I) com o elemento estruturante (SE)
open = imopen(I, SE);
close = imclose(I, SE);
open_close = imopen(imclose(I, SE), SE);

% Exibe resultados
subplot(2,2,1); imshow(I); title("Imagem Original");
subplot(2,2,2); imshow(open); title("Abertura");
subplot(2,2,3); imshow(close); title("Fechamento");
subplot(2,2,4); imshow(open_close); title("Abertura e Fechamento");
```

Operações Morfológicas: Abertura e Fechamento

Imagem Original



Abertura



Fechamento



Abertura e Fechamento



Contorno

- Podemos definir o contorno (fronteira ou perímetro) de um objeto erodindo-o com um elemento estruturante apropriado e pequeno e, em seguida, subtraindo o resultado da imagem original. Assim, para uma imagem binária **A** e um elemento estruturante **B**, o contorno **A_p** é definido como:

```
% Lê uma imagem binária
I = imread("J.bmp");

% Define um elemento estruturante do tipo disco com raio 2
SE = strel('disk', 2, 0);

% Aplica a convolução da imagem original (I) com o elemento estruturante (SE)
erode = imerode(I, SE);

% Subtrai a imagem original pela erosão para gerar o contorno
I_Contorno = I - erode;

% Exibe resultados
subplot(1,2,1); imshow(I); title("Imagem Original");
subplot(1,2,2); imshow(erode); title("Erosão");
figure; imshow(I_Contorno); title("Contorno");
```

$$A_p = A - A \ominus B$$



Operações Morfológicas

- O modo e a magnitude da expansão ou redução da imagem dependem necessariamente do *elemento estruturante* **B**.
- A aplicação de uma transformação de dilatação ou erosão a uma imagem sem a especificação de um *elemento estruturante*, não produzirá nenhum efeito.
- Dilatações e erosões são usadas para a criação de transformações mais sofisticadas, as quais conduzem a vários resultados relevantes quanto à análise de imagens, dentre os quais se citam:
 - os filtros morfológicos,
 - o preenchimento de buracos,
 - a extração de contornos,
 - o reconhecimento de padrões.

Lista de Exercícios

Exercício 1

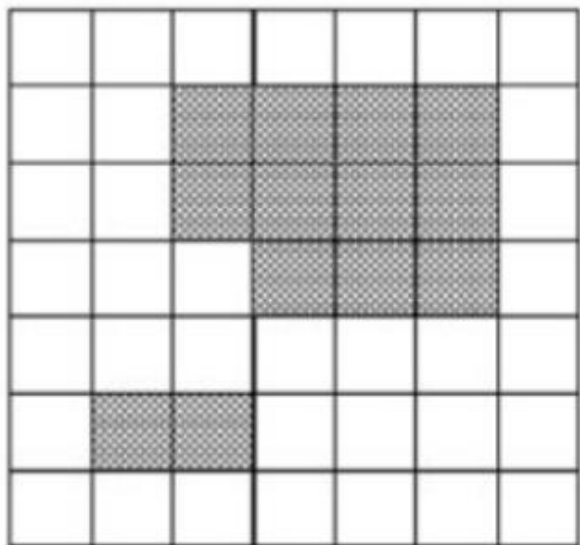
Considerando os detectores de bordas de *Prewitt* e de *Sobel*, aplique detecção de bordas às imagens dos três canais RGB (por exemplo, com as imagens '*onion.png*' e '*football.jpg*').

Exiba os resultados como uma imagem em cores de três canais e como canais individuais de cor (um por figura).

Exercício 2

Considere a imagem original e o elemento estruturante abaixo e:

 = 1  = 0

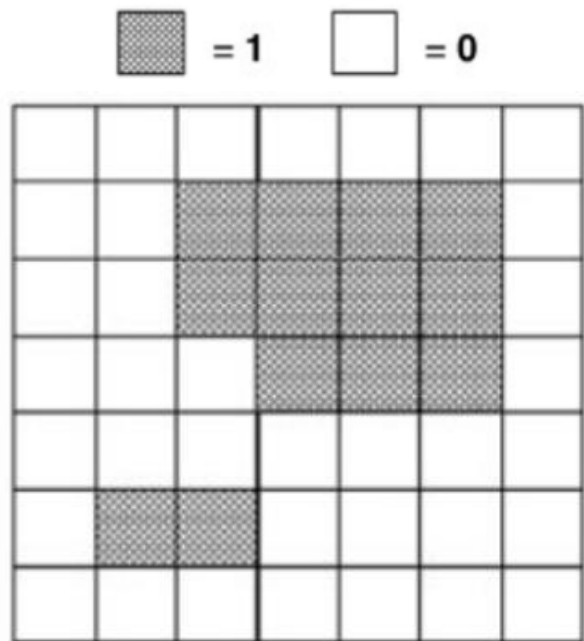


| | | |
|---|---|---|
| 1 | 0 | 0 |
| 0 | 1 | 0 |
| 0 | 0 | 1 |

Esboce o resultado da **erosão** com este elemento estruturante.
Esboce o resultado da **dilatação** com este elemento estruturante.

Exercício 3

Considere a imagem original e o elemento estruturante abaixo e:



Qual é o resultado de, primeiro, erodir a imagem com este elemento estrutural e, em seguida, dilatá-la com o mesmo elemento estrutural (operação denominada fechamento)?

Qual é o resultado de, primeiro, dilatar a imagem com este elemento estrutural e, em seguida, erodi-la com o mesmo elemento estrutural (operação denominada abertura)?